

## ПЛАЗМОХИМИЧЕСКОЕ ОСАЖДЕНИЕ ТОНКИХ ПЛЕНОК GaS НА РАЗЛИЧНЫЕ ТИПЫ ПОДЛОЖЕК

© 2023 г. М. А. Кудряшов<sup>a, b</sup>, Л. А. Мочалов<sup>a, b</sup>, И. О. Прохоров<sup>a, b</sup>, М. А. Вшивцев<sup>a, \*</sup>,  
Ю. П. Кудряшова<sup>b</sup>, В. М. Малышев<sup>a</sup>, Е. А. Слаповская<sup>b</sup>

<sup>a</sup> Нижегородский государственный технический университет им. Р.Е. Алексеева,  
ул. Минина, 24, Нижний Новгород, 603950 Россия

<sup>b</sup> Нижегородский государственный университет им. Н.И. Лобачевского,  
пр. Гагарина, 23, Нижний Новгород, 603022 Россия

\*E-mail: mvshivtcev@mail.ru

Поступила в редакцию 03.05.2023 г.

После доработки 10.07.2023 г.

Принята к публикации 14.07.2023 г.

Моносульфид галлия (GaS), как представитель монохалькогенидных слоистых материалов III группы, является полупроводником с широкой запрещенной зоной. Он считается идеальным материалом для детекторов света в синем и ближнем ультрафиолетовом диапазонах спектра. В этой работе впервые применен метод плазмохимического осаждения из газовой фазы (PECVD) для получения тонких пленок GaS на различных подложках, где в качестве исходных веществ выступали высокочистые галлий и сера. Для инициирования взаимодействия между исходными материалами использовался неравновесный плазменный ВЧ-разряд (40.68 МГц) при давлении 0.1 Торр. Исследовано влияние природы подложки на стехиометрию, структуру и морфологию поверхности пленок GaS. Плазмохимический процесс изучался методом оптической эмиссионной спектроскопии.

**Ключевые слова:** тонкие пленки, моносульфид галлия, PECVD

**DOI:** 10.31857/S0023119323060098, **EDN:** RULDFW

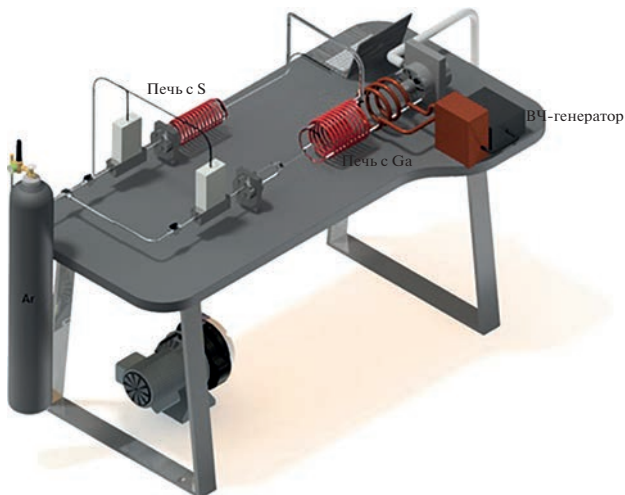
### ВВЕДЕНИЕ

В последние годы большой интерес вызывают двумерные полупроводники из-за их уникальных физических свойств и многообещающих применений в будущем. Такие материалы привлекли значительное внимание исследователей благодаря возможности использовать их в оптоэлектронике, сенсорах,nanoэлектронике, и т.д. [1]. Большинство изученных 2D-полупроводников обладают малой шириной запрещенной зоны, в то время как для 2D-светоизлучающих диодов (LED) с излучением синего или УФ-излучения необходимы материалы с большей шириной запрещенной зоны. Входящий в состав слоистых халькогенидов моносульфид галлия является широкозонным полупроводником, который является многообещающим кандидатом для изготовления оптоэлектронных устройств, работающих в синей области спектра [2], а также для нелинейно-оптических [3] и фотоэлектрических приложений [4]. Кроме того, GaS представляет интерес как материал для пассивации поверхности GaAs [5]. Наиболее стабильной формой при нормальных условиях является гексагональный  $\beta$ -GaS ( $a = b = 3.585 \text{ \AA}$ ,  $c = 15.50 \text{ \AA}$ ), который представляет собой диамагнитный полупроводник

[6]. GaS кристаллизуется по типу стопки слоев, где каждый монослой состоит из двух плотноупакованных подслоев галлия и двух плотноупакованных подслоев серы в последовательности стопки S–Ga–Ga–S вдоль оси  $c$ . Внутри слоя существуют сильно ковалентные химические связи галлий–серы, а между соседними слоями имеются слабые силы Ван-дер-Ваальса.

Показано, что объемный GaS имеет непрямую ширину запрещенной зоны 2.59 эВ и прямую ширину запрещенной зоны 3.05 эВ [7]. Из-за эффектов квантового ограничения запрещенная зона увеличивается с уменьшением толщины [8]. Также GaS, обогащенный галлием, относится к полупроводникам  $n$ -типа, а GaS, обогащенный серой, – к полупроводникам  $p$ -типа [9]. Зарегистрированные значения холловской подвижности составляют около 16 и 12  $\text{см}^2 \text{ В}^{-1} \text{ с}^{-1}$  для GaS  $n$ - и  $p$ -типа соответственно [10].

Тонкие пленки сульфида галлия были получены несколькими методами, включая химическое осаждение из газовой фазы [11], осаждение с модулированным потоком [12], микроволновый тлеющий разряд [13], молекулярно-лучевую epitаксию [14] и др. Известно, что условия/методы



**Рис. 1.** Схема плазмохимической установки для синтеза тонких пленок Ga–S.

осаждения могут влиять на структурные, оптические и электрические свойства тонких пленок. Например, на кристалличность пленок может сильно влиять природа подложки. В этой работе исследовано влияние типа подложки на пленки сульфида галлия, полученные плазмохимическим осаждением из газовой фазы, где в качестве прекурсоров использовались элементарные галлий и сера. Такой метод позволяет получать пленки при более низкой температуре, что имеет значение для чувствительных к температуре применений.

## ЭКСПЕРИМЕНТАЛЬНАЯ ЧАСТЬ

Принципиальная схема плазмохимической установки с трубчатым реактором приведена на рис. 1. Подобная схема была ранее представлена в работах [15].

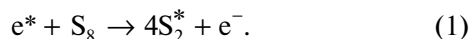
Галлий с чистотой 99.9999% и элементарную серу с чистотой 99.999% загружали в специальные загрузочные емкости, изготовленные из высокочистого кварца и снабженные внешними резистивными нагревательными элементами и термопарами для контроля температуры. Температура источника галлия составляла 850°C, температура источника серы 120°C. Плазменный разряд возбуждался 4-витковым внешним ВЧ-индуктором, мощность плазмы составляла 50 Вт. Общее давление в системе во время экспериментов поддерживалось постоянным 0.1 Торр. Твердые продукты реакции осаждались на нагреваемую подложку. Пленки осаждали на такие подложки, как сапфир (0001), кремний (100) и покровное стекло размерами 10 × 10 мм<sup>2</sup>. Температура подложек поддерживалась на уровне 250°C. Средняя скорость роста, вычисленная из измеренных толщин пленок с помощью микрointерферометра Линника

МИИ-4М, составила около 25 нм/ч. Осаждение осуществляли в течение 2 ч.

Состав полученных пленок был изучен с помощью энергодисперсионной приставки X-MaxN 20 (Oxford Instruments) сканирующего электронного микроскопа JSM IT-300LV (JEOL). Рентгенофазовый анализ проводился с использованием дифрактометра Bruker D8 Discover при углах 2θ от 10° до 60° с шагом 0.1°. Морфологическое состояние поверхности пленок сульфида галлия изучали методом атомно-силовой микроскопии (ACM) с использованием сканирующего зондового микроскопа SPM-9700 (Shimadzu, Япония) в контактном режиме.

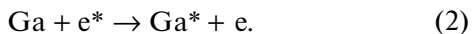
## РЕЗУЛЬТАТЫ И ОБСУЖДЕНИЕ

Оптические эмиссионные спектры плазменного разряда смесей Ar–S, Ar–Ga и Ar–Ga–S при мощности генератора 50 Вт представлены на рис. 2. В условиях плазменного разряда сера демонстрирует высокую реакционную способность благодаря большому сечению захвата и сродству к электрону ( $\epsilon = -2.07$  eV). Это отражается в эмиссионном спектре плазмы появлением широких максимумов молекулярных фрагментов серы ( $S_2$ – $S_8$ ) в области 270–370 нм (кривая 1). Взаимодействие высокоэнергетичных электронов в разряде плазмы с молекулами серы  $S_8$  сопровождается образованием димерных фрагментов  $S_2$  в возбужденном состоянии согласно следующему суммарному процессу:



В спектре плазмы на фоне широких максимумов в области 270–450 нм, наблюдаются эмиссионные полосы возбужденных фрагментов  $S_2$  при 282.9, 290, 293, 336.9, 394, 419.3, 447.8 нм. Эмиссионные линии атомарных фрагментов серы в спектре плазмы не обнаружены.

В спектре плазмы смеси Ar–Ga (кривая 2) возбужденные атомы галлия Ga(I) представлены интенсивными эмиссионными линиями при 287.4, 294.4, 403.3, 417.2 нм [16]:



В случае смеси Ar–Ga–S (кривая 3) наблюдается уменьшение интенсивности линий галлия и серы в виду взаимодействия их активных частиц в плазме. Можно предположить протекание следующих химических реакций в разряде плазмы:



Таким образом, исходя из анализа эмиссионных спектров, в процессе плазмохимического осаждения следует ожидать формирование на подложке моносульфида галлия.

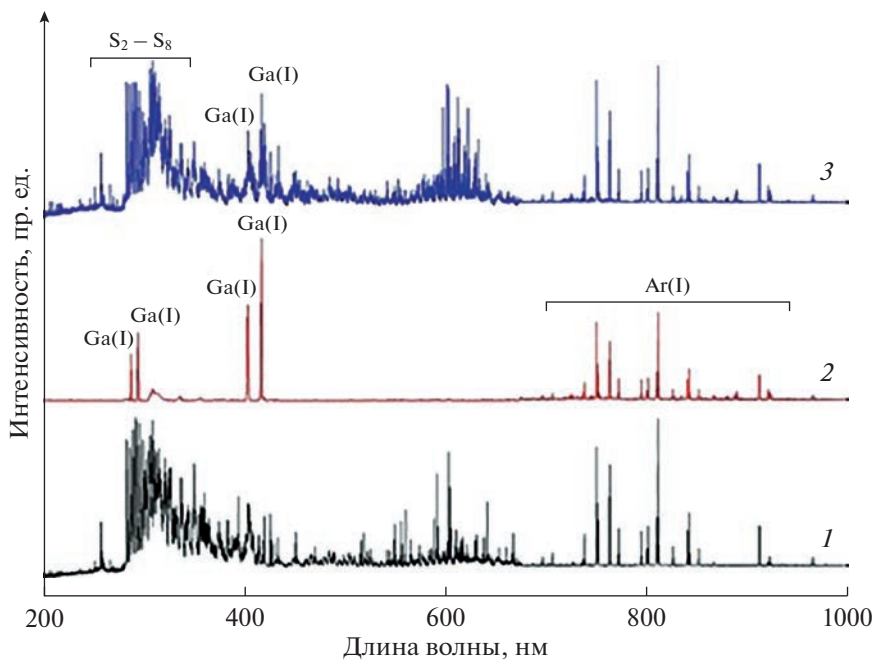


Рис. 2. Эмиссионные спектры смесей Ar—S (1), Ar—Ga (2) и Ar—Ga—S (3).

Зависимость состава пленок от типа подложки представлена в табл. 1. Погрешность измерения составила  $\pm 1$  ат. %. Как видно из таблицы, наиболее близкий состав к стехиометрии GaS получается на сапфировой подложке. При этом на покровном стекле наблюдается наибольшее отклонение, а именно, заметное превышение содержания серы по сравнению с галлием. В этом случае состав был ближе к стехиометрии  $\text{Ga}_2\text{S}_3$ .

Пленки, осажденные на покровное стекло, кремний и сапфир, имели различную структуру (рис. 3). В случае покровного стекла пленки имели рентгеноаморфную природу. Когда осаждение осуществлялось на кремниевую подложку, помимо аморфной фазы наблюдалась кристаллическая фаза  $\beta$ -GaS [PDF № 30-0576], демонстрируя на дифрактограммах рефлексы при  $11.3^\circ$ ,  $28.9^\circ$  и  $50.9^\circ$ .

Отметим, что и  $\gamma$ - $\text{Ga}_2\text{S}_3$ , и  $\beta$ -GaS дают рефлексы вблизи  $2\theta = 29^\circ$ , что создает определенную сложность в различии этих фаз, особенно когда кристаллизация плохая. В этих условиях рефлексы при  $2\theta = 11.4^\circ$  и  $50.9^\circ$  служат для обеспечения точно-го определения гексагональной фазы моносульфида галлия. Наличие рефлексов разных направлений

говорит о поликристалличности пленок. Дифракционные пики  $\beta$ -GaS (002) и (004) наблюдались при осаждении пленки на сапфировую подложку. Рефлексы для GaS достаточно широкие, что указывает на то, что пленки являются дефектными и поликристаллическими с малыми размерами доменов. Тем не менее, пленки сильно текстурированы. Для пленки присутствуют только дифракционные пики (002) и (004), что указывает на предпочтительную ориентацию оси *c*.

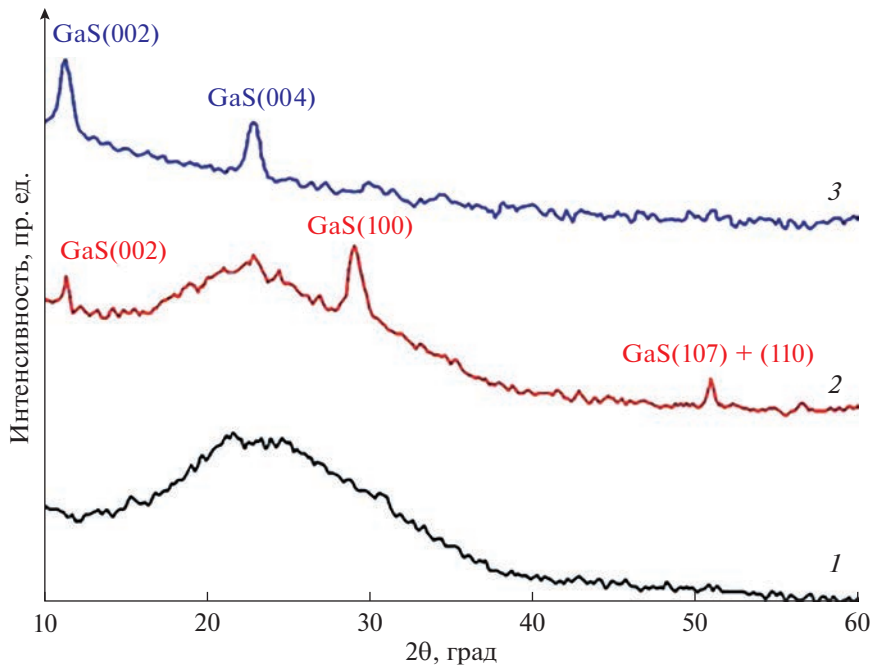
На рис. 4 представлены ACM-снимки пленок Ga—S, полученных на различных подложках при мощности плазмы 50 Вт и температуре подложек  $250^\circ\text{C}$ . В случае сапфира наблюдается гладкая поверхность без каких-либо явных фрагментов с шероховатостью около 0.44 нм. Пленки, осажденные на кремний, имеют более высокую шероховатость поверхности (0.63 нм), на которой отчетливо видны сферические островки размером 60 нм. На покровном стекле формируются пленки с наиболее развитой поверхностью. Здесь можно выделить сферические зерна размером 200 нм, а шероховатость составляет уже приблизительно 10 нм.

## ВЫВОДЫ

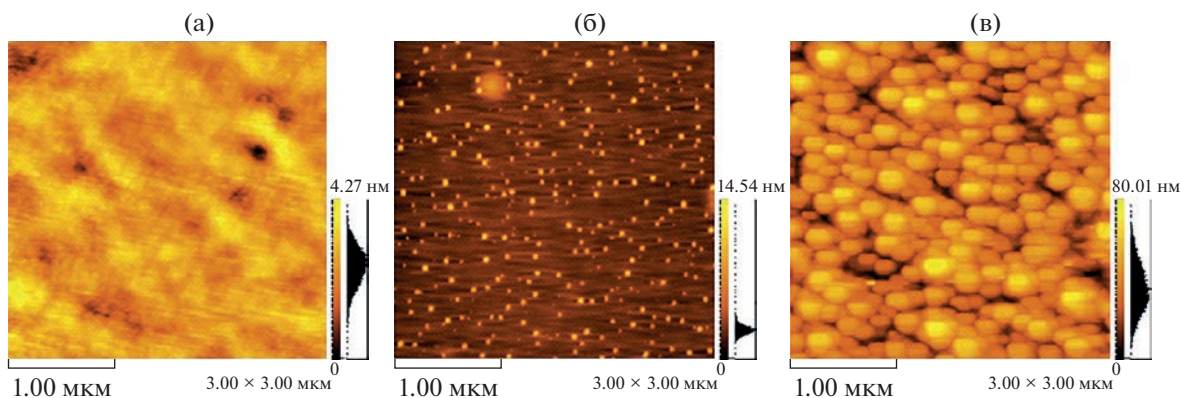
Показана возможность осаждения тонких пленок моносульфида галлия (GaS) на такие типы подложки, как сапфир, кремний и покровное стекло, в условиях низкотемпературной неравновесной плазмы. Природа подложки определяла состав и свойства пленок. Наиболее близкий состав пленки к моносульфиду галлия был реализован

Таблица 1. Состав пленок Ga—S от типа подложки

Тип подложки	Состав, ат. %
Покровное стекло	$\text{Ga}_{43}\text{S}_{57}$
Si (100)	$\text{Ga}_{47}\text{S}_{53}$
$\text{Al}_2\text{O}_3$ (0001)	$\text{Ga}_{48}\text{S}_{52}$



**Рис. 3.** Дифрактограммы пленок сульфида галлия, осажденных на покровное стекло (1), кремний (2) и сапфир (3), при мощности плазмы 50 Вт и температуре подложек 250°C.



**Рис. 4.** АСМ-изображения пленок сульфида галлия, осажденных на сапфир (а), кремний (б) и покровное стекло (в).

ван на сапфире. Напротив, на стекле формировались аморфные пленки, близкие к стехиометрии  $\text{Ga}_2\text{S}_3$ . Когда осаждение осуществлялось на кремниевую подложку, помимо аморфной фазы наблюдалась кристаллическая фаза  $\beta\text{-GaS}$ . Дифракционные пики  $\beta\text{-GaS}$  (002) и (004) наблюдались при осаждении пленки на сапфировую подложку, что указывает на предпочтительную ориентацию оси  $c$ . В случае сапфира пленки имеют гладкую поверхность без каких-либо явных фрагментов с шероховатостью около 0.44 нм. Шероховатость слегка увеличивалась в случае использования кремниевой до 0.63 нм. На покровном стекле формиру-

ются пленки с наиболее развитой поверхностью с шероховатостью приблизительно 10 нм.

#### ИСТОЧНИК ФИНАНСИРОВАНИЯ

Исследование выполнено при поддержке Российского научного фонда, грант № 22-19-20081, <https://rsrf.ru/project/22-19-20081/>.

#### СПИСОК ЛИТЕРАТУРЫ

1. Wang Q.H., Kalantar-Zadeh K., Kis A., Coleman J.N., Strano M.S. // Nat. Nanotechnol. 2012. V. 7. № 11. P. 699.

2. *Jung C.S., Shojaei F., Park K., Oh J. Y., Im H.S., Jang D.M., Kang H.S.* // ACS Nano. 2015. V. 9. № 10. P. 9585.
3. *Haishuang L., Yu C., Kexin Y., Yawei K., Zhongguo L., Yushen L.* // Front. Mater. 2021. V. 8. P. 478.
4. *Cuculescu E., Evtodiev I., Caraman M., Rusu M.* // J. Optoelectron. Adv. Mater. 2006. V. 8. № 3. P. 1077.
5. *Okamoto N., Tanaka H.* // Mater. Sci. Semicond. Process. 1999. V. 2. P. 13.
6. *Jastrzebski C., Olkowska K., Jastrzebski D.J., Wierzbicki M., Gebicki W., Podsiadlo S.* // J. Phys. Condens. Matter. 2018. V. 31. P. 075303.
7. *Hu P., Wang L., Yoon M., Zhang J., Feng W., Wang X., Xiao K.* // Nano Lett. 2013. V. 13. № 4. P. 1649.
8. *Gutiérrez Y., Juan D., Dicorato S., Santos G., Duwe M., Thiesen P.H., Giangregorio M.M., Palumbo F., Hingerl K., Cobet C., García-Fernández P., Junquera J., Moreno F., Losurdo M.* // Opt. Express. 2022. V. 30. № 15. P. 27609.
9. *Lieth R.M.A., Van Der Maesen F.* // Phys. status solidi A. 1972. V. 10. № 1. P. 73.
10. *Kiperman A.H.M., Vermij C.J.* // Nuovo cimento B. 1969. V. 63. P. 29.
11. *Wang X., Sheng Y., Chang R.J., Lee J.K., Zhou Y., Li S., Warner J.H.* // ACS Omega. 2018. V. 3. № 7. P. 7897.
12. *Sanz C., Guillén C., Gutiérrez M.T.* // J. Phys. D. 2009. V. 42. P. 085108.
13. *Chen X., Hou X., Cao X., Ding X., Chen L., Zhao G., Wang X.* // J. Cryst. Growth. 1997. V. 173. № 1. P. 51.
14. *Okamoto N., Tanaka H., Hara N.* // Jpn. J. Appl. Phys. 2001. V. 40. № 2. P. 104.
15. *Mochalov L., Logunov A., Prokhorov I., Vshivtsev M., Kudryashov M., Kudryashova Y., Malyshev V., Spivak Y., Greshnyakov E., Knyazev A., Fukina D., Yunin P., Moshnikov V.* // Opt. Quantum Electron. 2022. V. 54. P. 646.
16. *Shirai T., Reader J., Kramida A.E., Sugar J.* // J. Phys. Chem. Ref. Data. 2007. V. 36. № 2. P. 509.